

بررسی عوامل مؤثر بر سینتیک پلیمر شدن پلی اتیلن سنگین

Study of Effective Parameters on Polymerization Kinetics of HDPE

مازیار صدیقی مقدم^۱، وحید حدادی اصل^{۱*}، سید محمد مهدی مرتضوی^۲

۱- تهران، دانشگاه صنعتی امیرکبیر، دانشکده مهندسی پلیمر، صندوق پستی ۱۵۸۷۵/۴۴۱۳

۲- تهران، پژوهشگاه پلیمر و پتروشیمی ایران، پژوهشکده مهندسی پلیمرپردازیون، صندوق پستی ۱۴۹۶۵/۱۱۵

دریافت: ۸۵/۰۵/۱۶، پذیرش: ۸۴/۱۲/۱۶

چکیده

پلیمر شدن پلی اتیلن سنگین با استفاده از کاتالیزور THT در فشار ۷ bar و دمای ۷۰°C به طور نیمه پیوسته در راکتور لیتری به حالت دوغایی و بدون استفاده از هیدروژن به عنوان عامل انتقال زنجیر و کنترل کننده وزن مولکولی انجام شد. در این مطالعه، اثر کمک کاتالیزورهای مختلف شامل تری اتیل آلمینیم، تری ایزو بوتیل آلمینیم و تری n-اکتیل آلمینیم بر سینتیک پلیمر شدن بررسی شد. همچنین، برای بررسی اثر دما و فشار، با استفاده از کمک کاتالیزور تری اتیل آلمینیم، پلیمر شدن در دما و فشارهای مختلف انجام شد. مشاهده شد، با افزایش غلظت کمک کاتالیزور نسبت به تیتانیم سرعت پلیمر شدن افزایش یافته و پس از رسیدن به مقداری بهینه کاهش می‌یابد. همچنین، هنگامی که از کمک کاتالیزور تری اتیل آلمینیم استفاده می‌شود، پلیمر شدن با سرعت و بازده بیشتری نسبت به تری ایزو بوتیل آلمینیم و تری n-اکتیل آلمینیم انجام می‌شود. کمک کاتالیزور تری ایزو بوتیل آلمینیم فعال‌تر از کمک کاتالیزور n-اکتیل آلمینیم است. همچنین، اثر غلظت هرسه کمک کاتالیزور بر سرعت پلیمر شدن، مطابق با معادلات Longmuir-Hinshelwood بود. نتایج نشان می‌دهد که نمودار واکنش پذیری کاتالیزور بر حسب دما دارای مقداری حداقل در دمای ۷۰°C است. در این میان مشخص شد که سرعت پلیمر شدن با توان ۱/۶۹ فشار مونومر متناسب است.

واژه‌های کلیدی

سرعت پلیمر شدن،
کاتالیزور زیگلر-ناتا،
دما، فشار،
کمک کاتالیزور HDPE

مقدمه

پلی اتیلن و پلی پروپیلن از مواد پلاستیکی مهم در جهان به شمار می‌آیند [۴]. مهمترین فرایند تولید پلی اولفینها، پلیمر شدن آنها با استفاده از کاتالیزورهای ناهمگن زیگلر-ناتا است. در این فرایند از فلزات غیر واسطه گرهای IV-VIII و آلکیل فلزات بر پایه فلزهای گروه I-III (به عنوان

با کشف زیگلر-ناتا تحولی عظیم در صنعت پلیمر جهان ایجاد شد، طوری که تا به امروز سهم عمده تولیدات پلیمری، محصولات تولیدی از این نوع کاتالیزورها را در بر می‌گیرد [۱-۳]. پلی اولفینها از مهمترین پلیمرهای مصرفی اند، که با استفاده از این کاتالیزور تولید می‌شوند. امروزه

Key Words

polymerization rate,
Ziegler-Natta catalyst,
temperature, pressure,
HDPE catalyst aid

*مؤلف مسئول مکاتبات، پیام نگار: haddadi@aut.ac.ir

تجربی

مواد

هگران از پتروشیمی ارak تهیه و برای خالص‌سازی بیشتر و حذف آلودگیها روی الک مولکولی و نوار سدیم نگهداری شد. گاز نیتروژن با خلوص ۹۹/۹۹ درصد از شرکت رهام و گازاتیلن با خلوص ۹۹/۹۹ درصد از شرکت قائم اصفهان تهیه شد. کاتالیزور THT که تک نگهدارنده و بر پایه منیزیم اتوکسید است، از واکنش تیتانیم تتراکلرید با نگهدارنده در واحد پلی‌اتیلن سنگین پتروشیمی ارak طبق روشی خاص تهیه می‌شود، به شکل دوغاب از آن واحد تهیه شد. تری‌اتیل آلومینیم (TEAl) از شرکت Fluka و تری‌ایزوبوتیل آلومینیم (TiBAI) و تری-n-اکتیل آلومینیم (TnOAI) از شرکت آلدريچ تهیه و بدون خالص‌سازی استفاده شدند.

روشها

پلیمرشدن

پلیمرشدن پلی‌اتیلن سنگین در راکتور ۵ لیتری استیل ساخته شده در شرکت بوچی به حالت دوغابی انجام شد. این راکتور مجهز به همزن از نوع لنگری با نیروی الکترومغناطیس و حسگرهای دور همزن، دما و فشار است. دمای راکتور به وسیله یک چرخش‌دهنده سیال (circulator) مدل HT از شرکت Huber کنترل می‌شد. برای انجام پلیمرشدن، ابتدا راکتور به منظور حذف آلودگیها به مدت ۲ h تحت جریان نیتروژن در دمای ۸۰°C، که به وسیله چرخش‌دهنده سیال تامین می‌شد قرار گرفت. بعد از مدت زمان مورد نظر دمای راکتور تا ۵۰°C کاهش یافت، سپس مقدار ۲ L هگزان به عنوان حلال محیط واکنش تحت جریان نیتروژن به راکتور منتقل شد. در مرحله بعد، ابتدا مقدار غلظت مورد نظر کمک کاتالیزور، که قبل از محیط dry box به حالت محلول یک مولار آماده شده بود، به وسیله سرنگ به راکتور وارد شد. پس از ۲ min ۳ مقدار مورد نظر کاتالیزور به وسیله سرنگ به راکتور منتقل و در ادامه راکتور از گاز اتیلن در فشار مورد نظر (۱، ۴ و ۷ bar) سیر شد. پس از آن، دمای راکتور به دمای مورد نظر واکنش (۶۰، ۷۰ و ۸۰°C) رسانده و پلیمرشدن شروع شد. مدت زمان پلیمرشدن در این مجموعه آزمایشها ۲ h بود که بعد از اتمام واکنش و قطع جریان گاز و کاهش دمای راکتور، پودر حاصل از راکتور خارج و خشک شد. در انتهای برای محاسبه واکنش پذیری کاتالیزور (A) و سرعت متوسط پلیمرشدن (R_p)، مقدار پلیمر خشک شده توزیں و با استفاده از مقدار کاتالیزور مصرفی، فشار و زمان عملیاتی مقادیر A و R_p محاسبه شد. شایان ذکر است، در مدت زمان واکنش

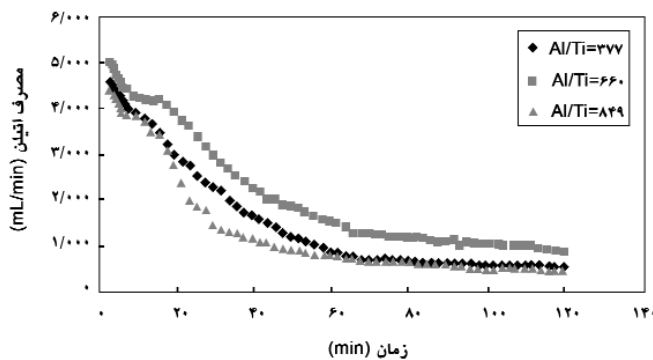
کمک کاتالیزور یا فعال کننده شناخته شده‌اند) استفاده می‌شود [۲]. قابل ذکر است که در صنعت اغلب نمکهای بر پایه تیتانیم و آلکیلهای آلومینیم در ساخت کاتالیزورهای ناهمگن زیگلر-ناتا بکار می‌رود [۳، ۵-۷]. کاتالیزور نقش اصلی را در فرایند پلیمرشدن و کیفیت محصول نهایی دارد. عوامل درونی نظیر نوع ترکیب، ساختار، شکل و اندازه ذرات و همچنین عوامل بیرونی نظیر دما، فشار، نوع و غلظت کمک کاتالیزور در پلیمرشدن روی کاتالیزور اثر دارد. در مجموع این عوامل بر سرعت واکنش، تسهیل فرایند، درنهایت بر مقدار محصول و خواص پلیمر تولید شده اثر می‌گذارند [۸-۱۰].

با بکار بردن سامانه کاتالیزوری $TiCl_4/MgCl_2/AlEt_2/SiO_2$ اثر شرایط مختلف فرایند از قبیل فشار مونومر و هیدروژن، غلظت نگهدارنده ($MgCl_2$) و کمک کاتالیزور بر سرعت پلیمرشدن اتیلن و واکنش پذیری کاتالیزور بررسی شد [۱۱]. در این سامانه کاتالیزوری مشاهده شد که افزایش فشار اتیلن و کاهش فشار هیدروژن اثر افزایشی بر سرعت پلیمرشدن و واکنش پذیری کاتالیزور دارد. همچنین، افزایش غلظت کمک کاتالیزور و دمای پلیمرشدن موجب مقداری بیشینه در سرعت پلیمرشدن می‌شود. افزون بر این، ملاحظه شد که غلظت نگهدارنده نیز اثر قابل ملاحظه‌ای بر سینتیک واکنش می‌گذارد.

در پژوهشی نیز اثر عوامل مختلف فرایند بر سینتیک پلیمرشدن HDPE با کاتالیزور همراه با کمک کاتالیزورهای TEAl ($AlEt_2$) و DEAC ($AlClEt_2$) بر پایه این بررسیها مشخص شد که با افزایش کاتالیزور و کمک کاتالیزور در هر دو سامانه کاتالیزوری، سرعت پلیمرشدن تا مقدار بیشینه‌ای افزایش می‌یابد و پس از آن کم می‌شود. همچنین، مشخص شد که افزایش زمان و دمای پلیمرشدن به ترتیب موجب افزایش و کاهش بازده و سرعت پلیمرشدن می‌شود و این اثر نیز به نوع کمک کاتالیزور استفاده شده وابسته است.

در مطالعه دیگر، با استفاده از کمک کاتالیزورهای مختلف TiBAI، TEAl و TMAI سینتیک پلیمرشدن HDPE بررسی شد [۱۰]. همچنین، اثر کمک کاتالیزور متفاوت بر خواص پلی‌اتیلن نهایی (وزن مولکولی و توزیع آن و دمای ذوب) مطالعه شد.

در این مقاله، اثر عوامل محیطی نظیر دما، فشار، نوع و غلظت کمک کاتالیزور بر سینتیک پلیمرشدن HDPE با کاتالیزور THT بر پایه منیزیم اتوکسید تهیه شده در پتروشیمی ارak، همراه با کمک کاتالیزورهای TnOAI و TiBAI بررسی شده است.



شکل ۲ اثر غلظت کمک کاتالیزور $TiBAI$ بر سینتیک پلیمر شدن (شرایط پلیمر شدن مشابه شکل ۱ است).

مقدار اتیلن مصرفی به کمک MFM تعییه شده روی set up پلیمر شدن اندازه گیری و با نرم افزار مربوط به شکل داده های مشخص وارد رایانه شد.

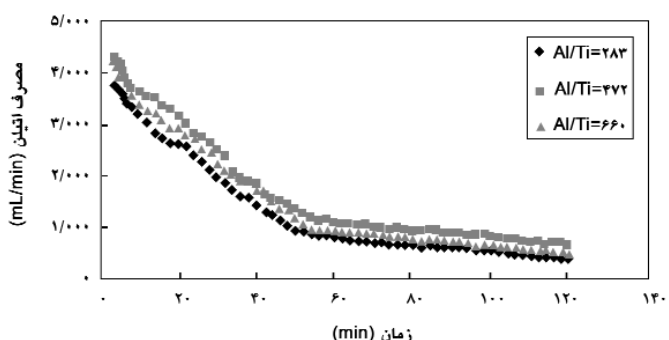
نتایج و بحث

اثر غلظت کمک کاتالیزور

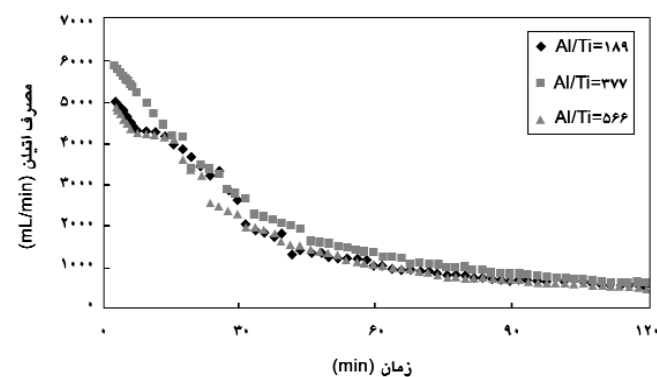
غلظت کاتالیزور پیوسته ثابت نگه داشته شد و نسبت کمک کاتالیزور به کاتالیزور (Al/Ti) با تغییر غلظت کمک کاتالیزور، تغییر داده شد. همان طور که در جدول ۱ و شکل های ۱ تا ۳ نشان داده شده است، واکنش پذیری کاتالیزور و پلیمر تولید شده با غلظت کمک کاتالیزور دارای مقدار بهینه ای است که با افزایش غلظت کمک کاتالیزور از این مقدار، واکنش پذیری کاتالیزور کاهش می یابد. علت وجود مقدار تعادلی

جدول ۱ اثر غلظت کمک کاتالیزور بر واکنش پذیری کاتالیزور و سرعت متوسط پلیمر شدن.

| واکنش پذیری (kg _{PE} /g _{cat} .atm) | بازده (g) | R _p (g _{PE} /g _{cat} .atm.min) | Al/Ti (molar ratio) | نوع کاتالیزور |
|--|--------------|--|------------------------|---------------|
| ۲/۹۹ | ۲۷۶ | ۲۴/۹۲ | ۱۸۹ | TEAl |
| ۲/۴۸ | ۳۲۱ | ۲۹/۰۰ | ۲۸۳ | |
| ۲/۷۸ | ۳۴۹ | ۳۱/۵۰ | ۳۷۷ | |
| ۲/۸۴ | ۲۶۳ | ۲۲/۶۷ | ۴۷۲ | |
| ۲/۷۸ | ۲۵۷ | ۲۲/۱۷ | ۵۶۶ | |
| ۲/۵۹ | ۲۲۹ | ۲۱/۵۵ | ۳۷۷ | |
| ۲/۶۷ | ۲۴۸ | ۲۲/۲۵ | ۴۷۲ | $TiBAI$ |
| ۳/۰۳ | ۲۸۰ | ۲۵/۲۵ | ۵۶۶ | |
| ۳/۰۹ | ۲۸۵ | ۲۵/۷۵ | ۶۶۰ | |
| ۲/۴۴ | ۳۱۸ | ۲۸/۶۷ | ۷۵۵ | |
| ۲/۱۱ | ۱۹۵ | ۱۷/۵۸ | ۸۴۹ | |
| ۱/۹ | ۱۷۵ | ۱۵/۸۳ | ۲۸۳ | TnOAl |
| ۲/۰۸ | ۱۹۲ | ۱۷/۳۳ | ۳۷۷ | |
| ۲/۴۱ | ۲۲۳ | ۲۰/۰۸ | ۴۷۲ | |
| ۲/۳۷ | ۲۱۹ | ۱۹/۷۵ | ۵۶۶ | |
| ۲/۱۶ | ۱۹۹ | ۱۸/۰۰ | ۶۶۰ | |



شکل ۳ اثر غلظت کمک کاتالیزور $TnOAl$ بر سینتیک پلیمر شدن (شرایط پلیمر شدن مانند شکل ۱ است).



شکل ۱ اثر غلظت کمک کاتالیزور TEAl بر سینتیک پلیمر شدن (شرایط پلیمر شدن: $T=70^{\circ}C$, $P=7 bar$, $[Ti]=0.265 mmol$, $t_p=2 h$, حلal ۲ هگران نرمال دور همزن ۵۰۰ rpm).

می شود [۱۱، ۱۳].

برای بررسی اثر غلظت کمک کاتالیزور روشهای گوناگونی وجود دارد، اما معادله سرعت رشد بر پایه ساز و کار Longmuir-Hineshelwood یکی از بهترین روشهای است. این معادله سرعت پلیمرشدن را به شکل زیر بیان می‌کند:

$$R_p = k' \frac{K_A [Al]}{(1 + K_A [Al])^2} \quad (1)$$

در این معادله K_A ثابت تعادلی جذب آلکیل آلمینیم بر مراکز فعال و k' معیاری از ثابت سرعت رشد پلیمرشدن است.

در شکل ۴ نمودارهای $[Al]/R_p^{1/5}$ بر حسب $[Al]$ برای سه نوع کمک کاتالیزور آورده شده است. هر سه نمودار خطی است که نشان می‌دهد با معادلات Longmuir-Hineshelwood مطابقت دارد، یعنی هم مونومر و هم AlR_p روی مراکز فعال جذب می‌شوند [۱۱]. از این نمودارها مقادیر K_A و k' برای سه کمک کاتالیزور بدست می‌آید که در بخش اثر نوع کمک کاتالیزور بیشتر بحث خواهد شد.

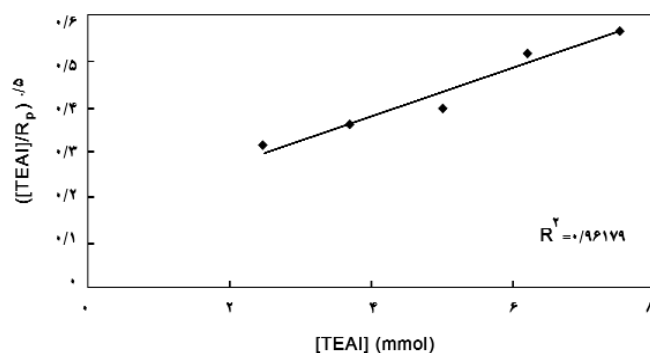
اثر نوع کمک کاتالیزور

به طور معمول سینتیک پلیمرشدن در سامانه‌های کوئوردیناسیونی به شدت وابسته به نوع و غلظت کمک کاتالیزور است [۱۴، ۱۵]. شکل ۵ واکنش پذیری کاتالیزور را با سه نوع کمک کاتالیزور مختلف در غلظتها متفاوت نشان می‌دهد.

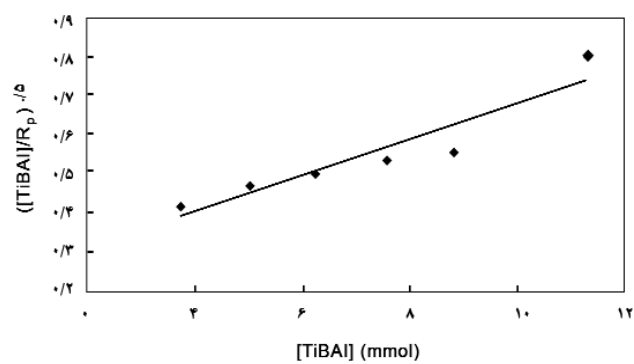
همان‌طور که در این شکل مشاهده می‌شود، از میان این سه TEAI موجب بیشترین واکنش پذیری کاتالیزور می‌شود و در پی آن TiBAI و TnOAI به ترتیب قرار دارند. این پدیده نشان می‌دهد که K_A ، ثابت سرعت جذب، برای TEAI بیشتر از دو کمک کاتالیزور دیگر است. به کمک نمودارهای شکل ۴ مقادیر K_A و k' را از شیب و عرض از مبدأ می‌توان بدست آورد (جدول ۲).

جدول ۲ مقادیر محاسبه شده K_A و k' برای سه کمک کاتالیزور مختلف.

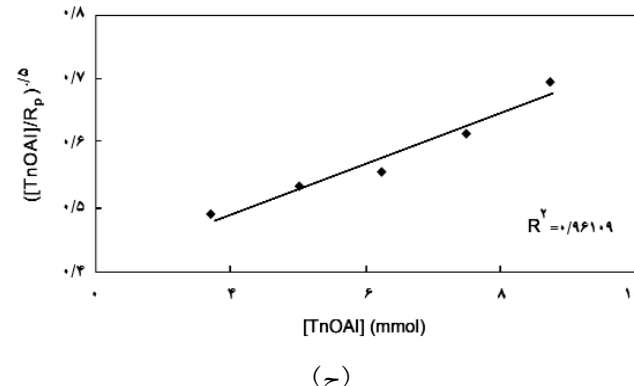
| K_A | k' | کمک کاتالیزور |
|--------|--------|------------------------|
| ۰/۳۱۳۶ | ۱۱۲/۹۴ | تری اتیل آلمینیم |
| ۰/۲۱۱ | ۹۸/۶۳ | تری ایزو بوتیل آلمینیم |
| ۰/۱۲۰۱ | ۷۶/۲۱ | تری n-اکتیل آلمینیم |



(الف)



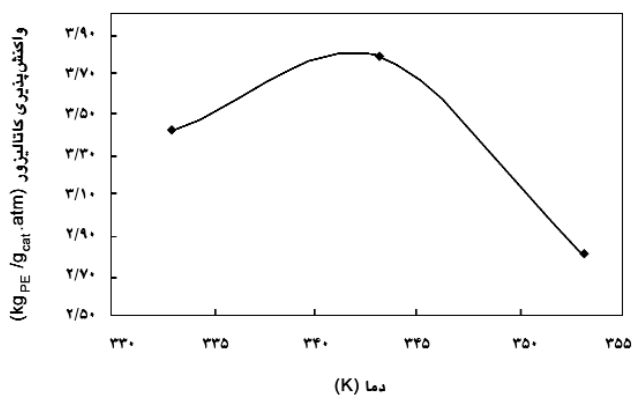
(ب)



(ج)

شکل ۴ نمودار $[Al]/R_p^{1/5}$ بر حسب $[Al]$ برای کمک کاتالیزورهای TnOAI و TEAI، TiBAI (شرایط پلیمرشدن مانند شکل ۱ است).

حداکثر برای مراکز فعال، به رقابت میان کمک کاتالیزور و مونومر برای جذب روی مراکز فعال نسبت داده شده است. یعنی پیش از مقدار جداکثر، با افزایش مقدار کمک کاتالیزور مقدار تشكیل مراکز فعال بیشتر شده و در نقطه جداکثر به نهایت می‌رسد. پس از مقدار جداکثر، به دلیل وجود کمک کاتالیزور اضافی، واکنش انتقال به کمک کاتالیزور بیشتر می‌شود که این امر موجب کاهش بازده و سرعت پلیمرشدن



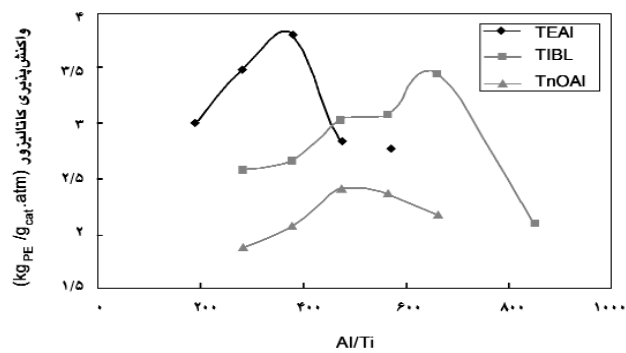
شکل ۷ اثر دمای پلیمر شدن بر واکنش‌پذیری کاتالیزور (شرایط پلیمر شدن: $[Ti] = 0.0265 \text{ mmol}$, $t_p = 2 \text{ h}$, $P = 7 \text{ bar}$, کمک کاتالیزور TEAI, حلال ۲ هگزان نرمال و دور همزن ۵۰۰ rpm).

یکسان ($Al/Ti = 377$) را نشان می‌دهد. باز هم مشاهده می‌شود که به طور کلی سرعت پلیمرشدن برای TEAI بیشتر از سایر کمک کاتالیزورهاست.

اثر دما

اثر دما روی واکنش‌پذیری کاتالیزور و سرعت واکنش در سه دمای ۶۰، ۷۰ و ۸۰°C در دو شکل ۷ و ۸ مشاهده می‌شود. همان‌طور که دیده می‌شود مقدار پلیمر بدست آمده و سرعت واکنش در دمای ۷۰°C بیشینه است و پس از آن در دمای ۸۰°C کاهش قابل توجهی دارد.

افزایش در سرعت از دمای ۶۰ تا ۷۰°C نشان می‌دهد که با افزایش دما، سرعت و مقدار شکل گیری مراکز فعال افزایش می‌یابد. اما، کاهش

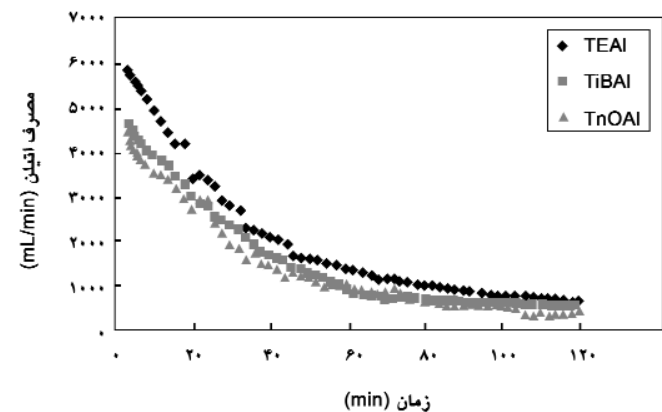


شکل ۵ اثر نوع کمک کاتالیزور بر واکنش‌پذیری کاتالیزور (شرایط پلیمرشدن مانند شکل ۱ است).

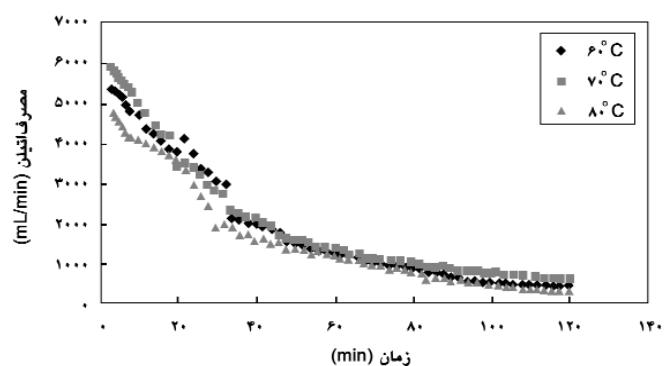
همان‌طور که در جدول ۲ مشاهده می‌شود، K_A برای TEAI بیشترین مقدار را دارد و پس از آن TiBAI و TnOAI قرار دارند. بنابراین، واکنش‌پذیری کاتالیزور برای TEAI بیشتر است (به دلیل سرعت جذب بیشتر) و پلیمر بیشتری بدست می‌آید.

اگرچه علت این پدیده به طور کامل شناخته نشده است، ولی می‌تواند به دلیل کاهش در قابلیت آلکیل دار شدن فعل کننده‌ها (کمک کاتالیزور) با افزایش اندازه مولکول آنها باشد. افزایش اندازه این کمک کاتالیزورها، امکان دستیابی آنها به مراکز کاتالیزور روی نگهدارنده را محدود می‌کند و موجب می‌شود که تعداد مراکز فعل کاهش یابند [۱۰]. تغییر مقدار Al/Ti موجب بیشترین تغییر در واکنش‌پذیری کاتالیزور به هنگام استفاده از کمک کاتالیزور TiBAI می‌شود. این اثر برای TEAI کمتر و در مورد TnOAI بسیار کمتر می‌شود (شکل ۵).

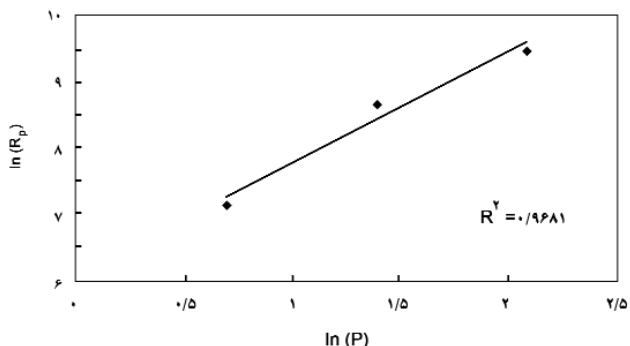
شکل ۶، نمودار سینتیکی برای سه کمک کاتالیزور مختلف با غلظت



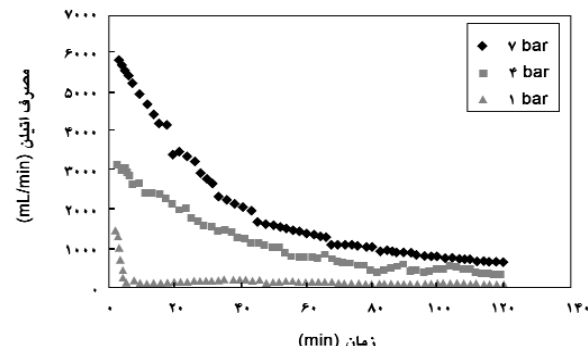
شکل ۶ اثر نوع کمک کاتالیزور بر سینتیک پلیمرشدن ($Al/Ti = 377$) و بقیه شرایط پلیمرشدن مانند شکل ۱ است).



شکل ۸ اثر دمای پلیمر شدن بر سینتیک پلیمرشدن (شرایط پلیمر شدن مانند شکل ۷ است).



شکل ۱۰ نمودار $\ln R_p$ بر حسب $\ln P_{C_4H_6}$ (شرایط پلیمرشدن مانند شکل ۹ است).



شکل ۹ اثر فشار اتیلن بر سینتیک پلیمرشدن (شرایط پلیمرشدن: $T=70^\circ\text{C}$, $\text{Ti}]=0.0265 \text{ mmol}$, $t_p=2 \text{ h}$ ، کمک کاتالیزور TEAI، حلal L ۲ هگزان نرمال و دور همزن (۵۰ rpm).

عرض از مبدأ نمودار مقادیر n و K_{eff} به ترتیب $1/69$ و $447/2$ بدست می‌آید. برای پلیمرشدن پروپیلن و سایر α -اولفینها مقادیر n برابر ۱ است. ولی برای اتیلن، این مقادار معمولاً "بین $1/7-1/9$ " بدست آمده است [۱۶].

نتیجه گیری

- نمودارهای سینتیکی پلیمرشدن HDPE با کاتالیزور THT از نوع کاهشی است.
- افزایش غلظت کمک کاتالیزورهای مختلف، موجب مقداری بیشینه در سرعت پلیمرشدن و واکنش پذیری کاتالیزور می‌شود.
- کمک کاتالیزور TEAI دارای بیشترین واکنش پذیری و سرعت پلیمرشدن است و در پی آن به ترتیب کمک کاتالیزور Al_2O_3 و TiBAI قرار دارد.
- نمودار سرعت پلیمر شدن نسبت به دما دارای مقداری بیشینه در دمای 70°C است.
- افزایش فشار اتیلن اثر افزایشی بر بازده و سرعت پلیمرشدن دارد، سرعت پلیمرشدن با توان $1/69$ فشار مونومر مناسب است.

قدردانی

مؤلفان از شرکت پژوهش و فناوری پتروشیمی به دلیل کمکهای مالی و در اختیار گذاشتن امکانات آزمایشگاهی برای انجام این طرح پژوهشی تشکر می‌کنند.

سرعت پلیمرشدن در دماهای بیشتر (80°C) به دلایل مختلفی ربط داده شده است.

یکی از دلایل آن تغییر در عامل تعیین‌کننده سرعت پلیمرشدن است، از واکنش شیمیایی در دماهای کم به نفوذ مونومر در دماهای زیاد باشد، یعنی در دماهای بیشتر به دلیل محدودیت نفوذ، سرعت و بازده پلیمرشدن کاهش می‌یابد [۱۱]. همچنین، دلیل دیگر آن می‌تواند غیرفعال شدن مراکز فعال (افراش واکنشهای اختتام) و کاهش انحلال پذیری اتیلن در حلal هگزان در دماهای بیشتر نیز باشد [۱۲].

اثر فشار

شکل ۹ نمودارهای سینتیکی را برای سه فشار مختلف، ۱، ۴ و ۷ bar نشان می‌دهد. همان‌طور که دیده می‌شود افزایش فشار اثر بسیار فرایندهای بر سرعت پلیمرشدن اتیلن دارد. این اثر به دلیل دردسترس بودن بیشتر مونومر برای رشد روی مراکز فعال است. با افزایش فشار اتیلن، سرعت اولیه و سرعت نهایی هم افزایش می‌یابد [۱۱، ۱۶].

شکل ۱۰ نمودار $\ln R_p$ را بر حسب $\ln P_{C_4H_6}$ نشان می‌دهد. همان‌طور که دیده می‌شود این نمودار خطی است، یعنی سرعت پلیمرشدن بر حسب فشار مونومر از معادله زیر تبعیت می‌کند:

$$R_p = K_{eff} P_E^n \quad (2)$$

که در آن K_{eff} ثابت سرعت واکنش است. با استفاده از شیب و

مراجع

1. Salamone J.C., *Polymeric Materials Encyclopedia*, **3**, 10-13, 1996.
2. Imai M., Yamamoto T., Furuhashi H., Ueno H. and Inaba N., Catalyst Component for Polymerization of Olefins, *US Pat. 4, 711, 939*, 1987.
3. Petkov L., Kyrtcheva R., Radenkov Ph. and Dobreva D., Organometallics in Ethylene Polymerization with a Catalyst System $TiCl_4/Al(C_2H_5)_2Cl/Mg(C_6H_5)_2$: 1. Suspension Polymerization Process, *Polymer*, **19**, 567-569, 1978.
4. Andrew Peacock A.J., *Hanbook of Polyethylene*, Marcel Decker, New York, 2000.
5. Bohm L.L., Ethylene Polymerization Process with a Highly Active Ziegler-Natta Catalyst: 1. Kinetics, *Polymer*, **19**, 553-561, 1978.
6. Tait P.J.T., *Comprehensive Polymer Science*, **4**, 1-25, Pergamon, 1989.
7. Martin J.L., Polyolefin Polymerization Process, Process of Producing Catalyst, and Catalyst, *US Pat. 5,350,724*, 1994.
8. Simon L.C., Mauler R.S. and Desouza R.F., Effect of the Alkyl Aluminium Cocatalyst on Ethylene Polymerization by a Nickel-Diimine Complex, *J. Polym. Sci., Part A: Polym. Chem.*, **37**, 4656-4663, 1990.
9. Dos Santes J.H.Z., Da Rosa M.B., Krug C., Stedile F.C., Haag M.C., Dupont J. and Forte M.D., Effects of Ethylene Polymerization Conditions on the Activity of SiO_2 -Supported Zirconocene and on Polymer Properties, *J. Polym. Sci., Part A: Polym. Chem.*, **37**, 1987-1996, 1999.
10. Shan C.L.P., *Approaches to Tailoring the Structure and Properties of Polyethylene*, Thesis Requirement for the Degree of Doctor of Philosophy in Chemical Engineering, Waterloo, Ontario, Canada, 2002.
11. Kim I.L., Kim J.H. and Woo S.I., Kinetic Study of Ethylene Polymerization by Highly Active Silica Supported $TiCl_4/MgCl_2$ Catalysts, *J. Appl. Polym. Sci.*, **39**, 837-854, 1990.
12. Pandya M.V. and Lata K.V., Low-pressure Polymerization of Ethylene. II, *J. Appl. Polym. Sci.*, **43**, 637-642, 1991.
13. Zhouri G.H., Mortazavi M.M., Jamjah R. and Ahmadjo S., Copolymerization of Ethylene-propylene Using High-activity Bi-supported Ziegler-Natta $TiCl_4$ Catalyst, *J. Appl. Polym. Sci.*, **93**, 2597-2605, 2004.
14. Burfield D.R., Mekenzie I.D. and Tait P.J.T., Ziegler-Natta Catalysis: 7- the Setteling Period, *Polymer*, **17**, 130-136, 1976.
15. Tait P.J.T., Jaber I.A. and Loontjens A.J., *Catalytic Olefin Polymerization, Recent Developments in Olefin Polymerization Catalysts*, Keii T. and Soga K. (Eds.), Kodansha, Tokyo, 11, 1990.
16. Kissin Y.V., Mink R.I. and Nowlin T.E., Ethylene Polymerization Reactions with Ziegler-Natta Catalysts, I. Ethylene Polymerization Kinetics and Kinetic Mechanism, *J. Polym. Sci., Part A: Polym. Chem.*, **37**, 4255- 4272, 1999.